

2/27

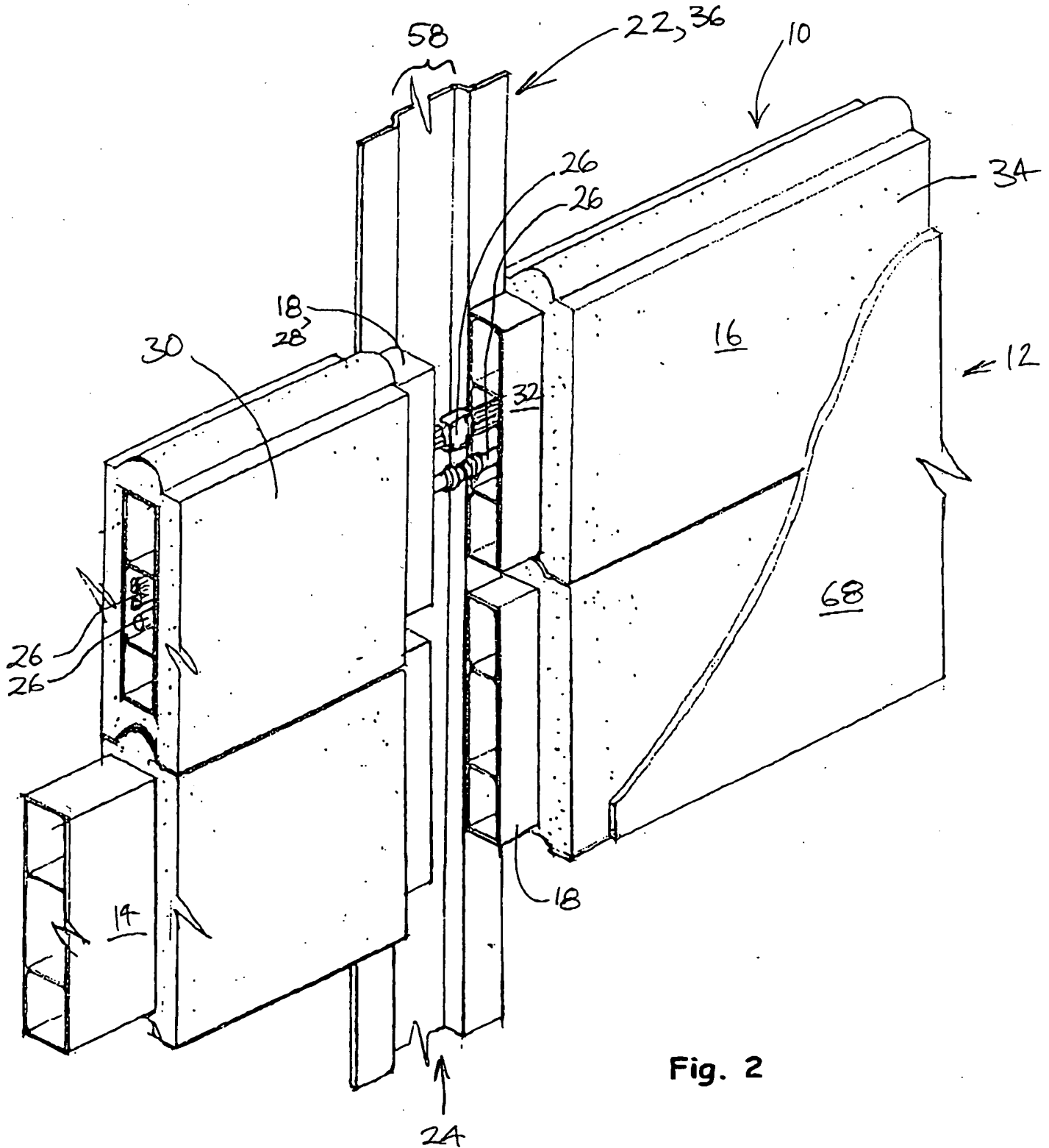


Fig. 2

BEST AVAILABLE COPY

3/27

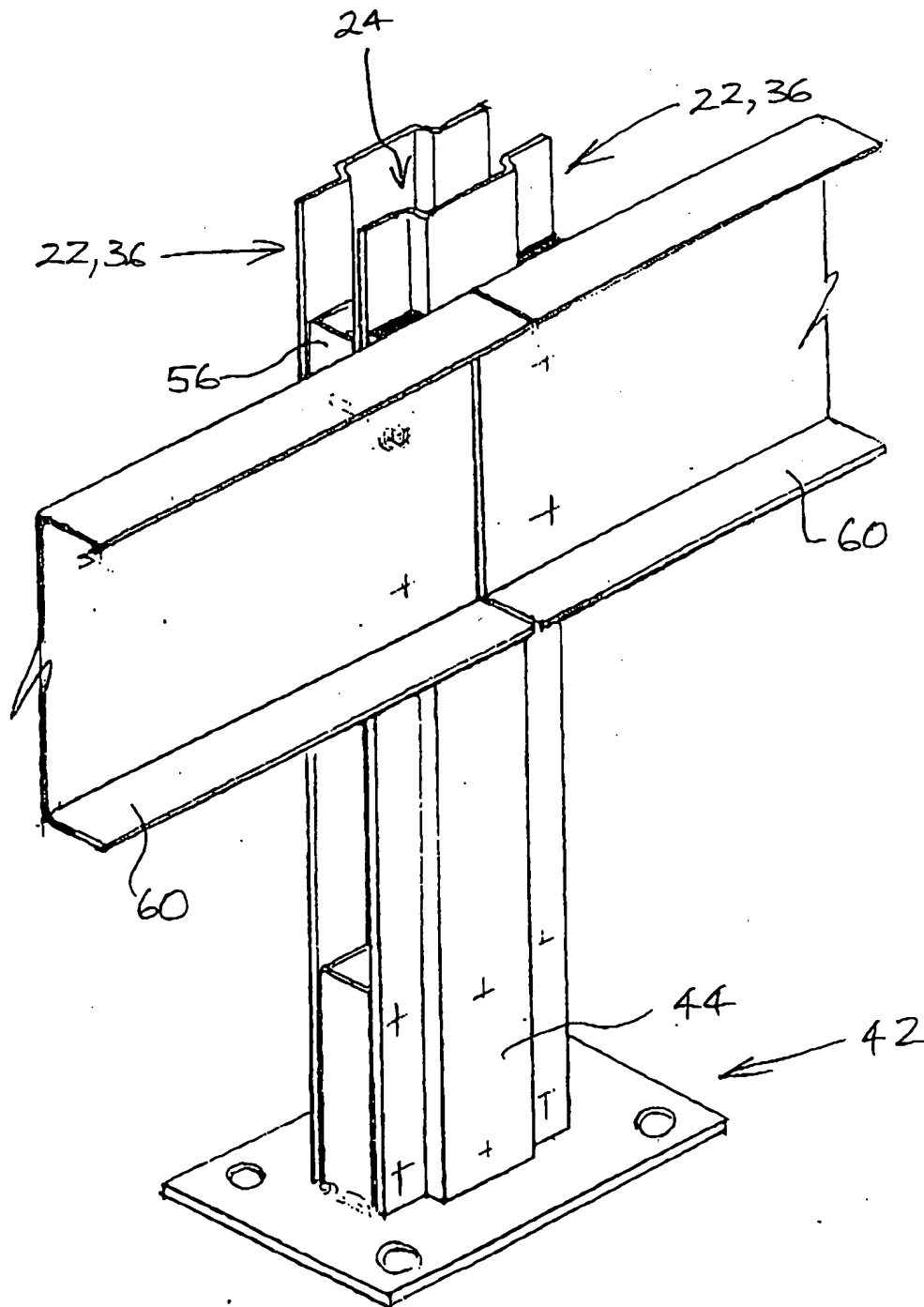


Fig. 3

4/27

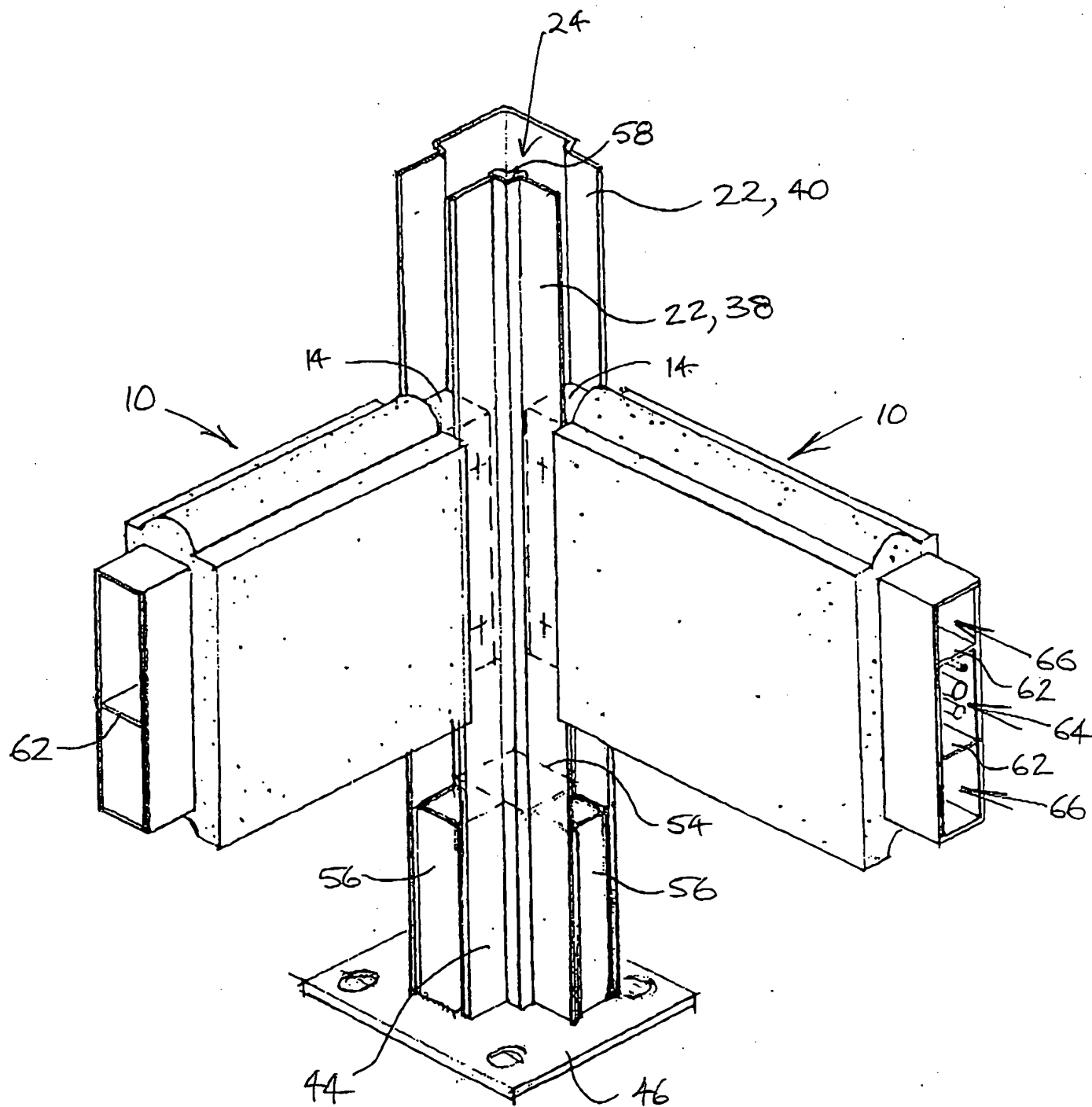


Fig. 4

5/27

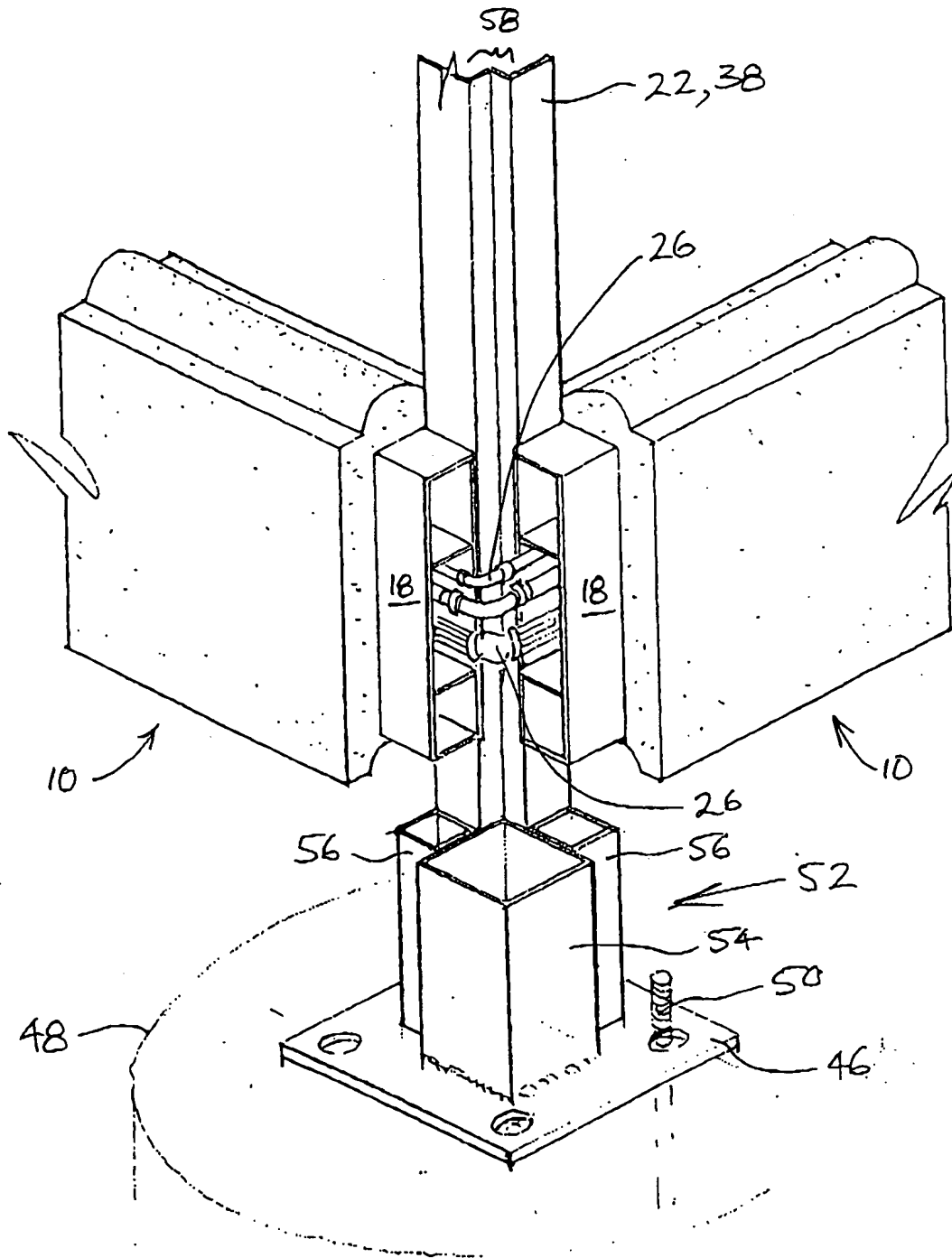


Fig. 5

6/27

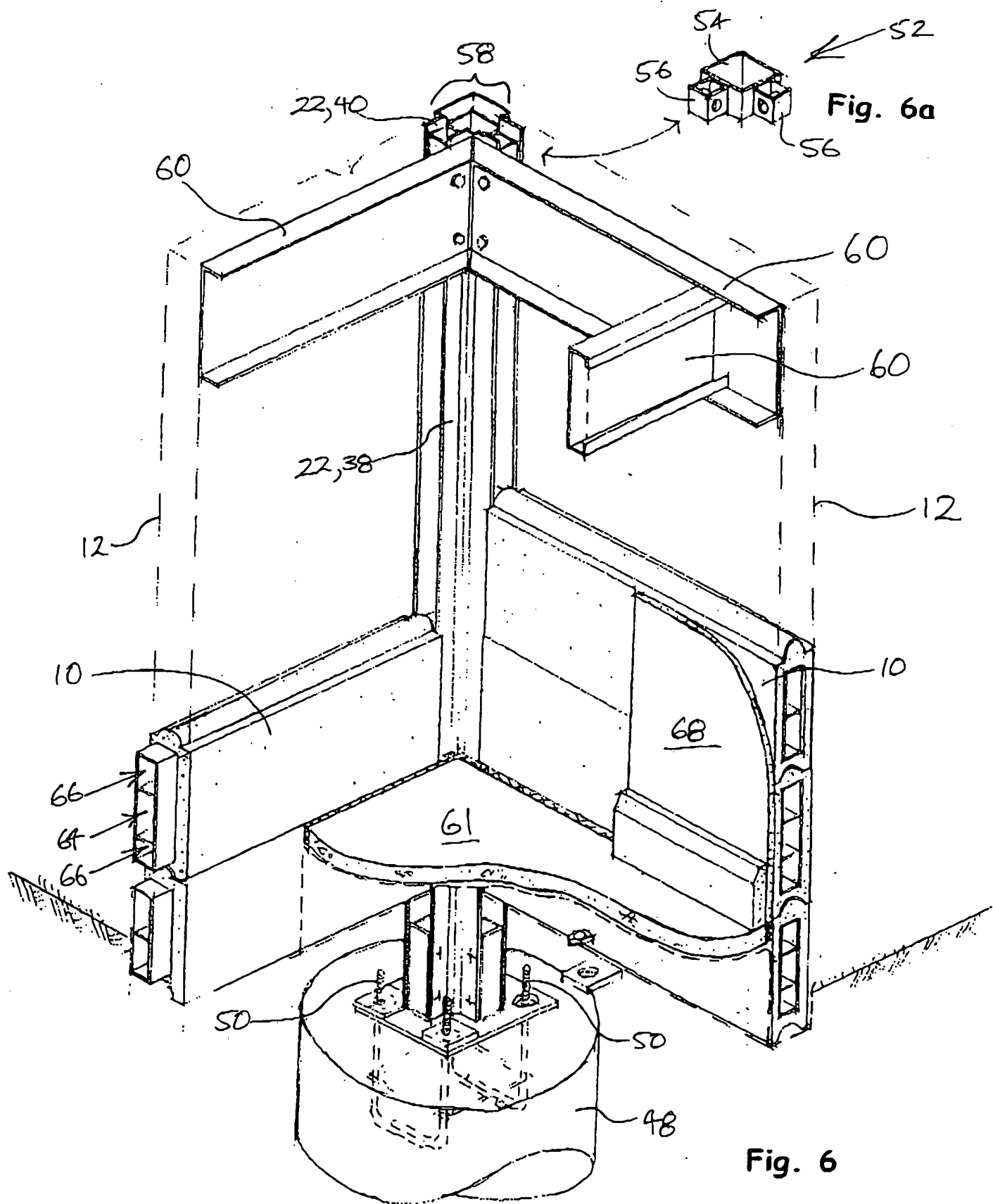


Fig. 6

7/27

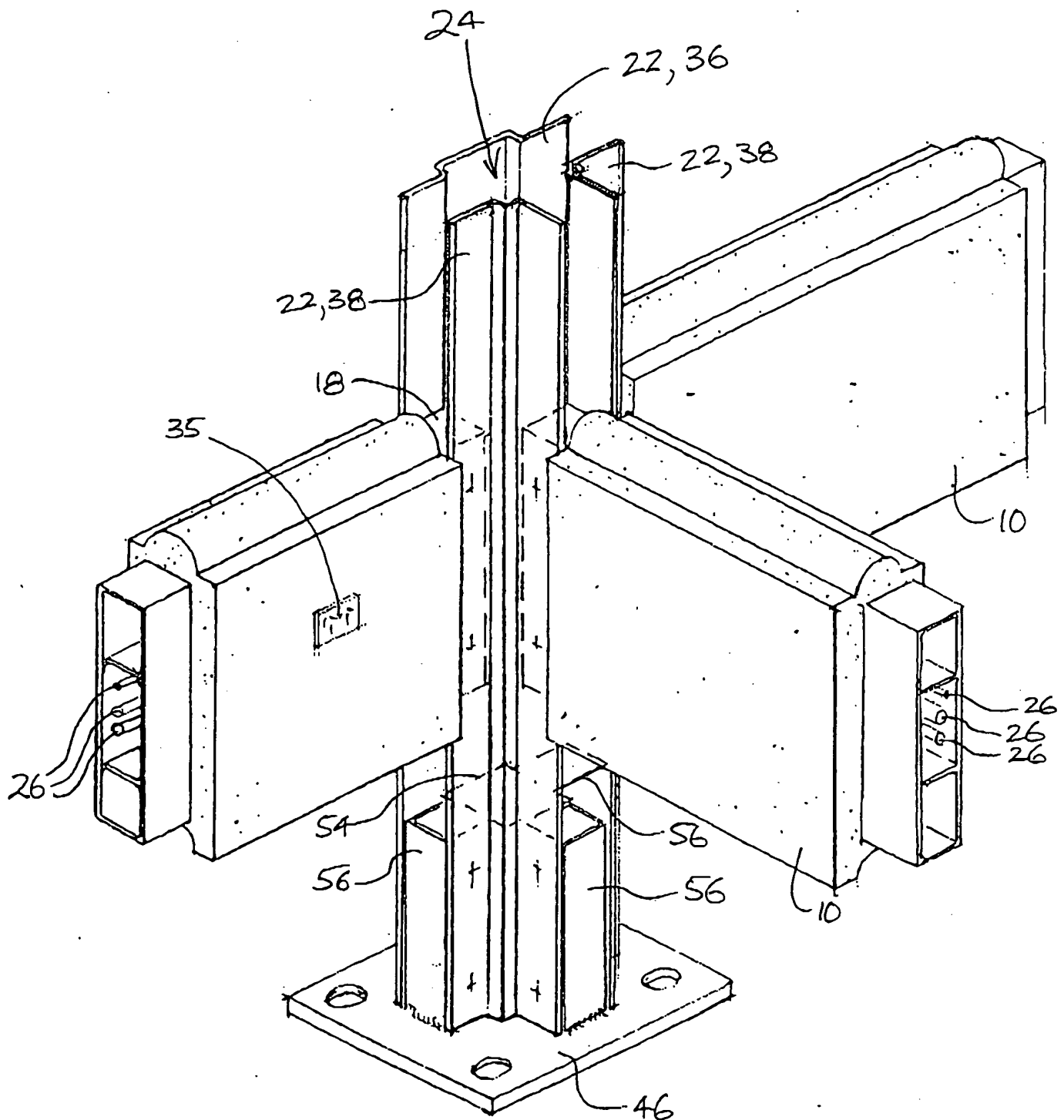


Fig. 7

8/27

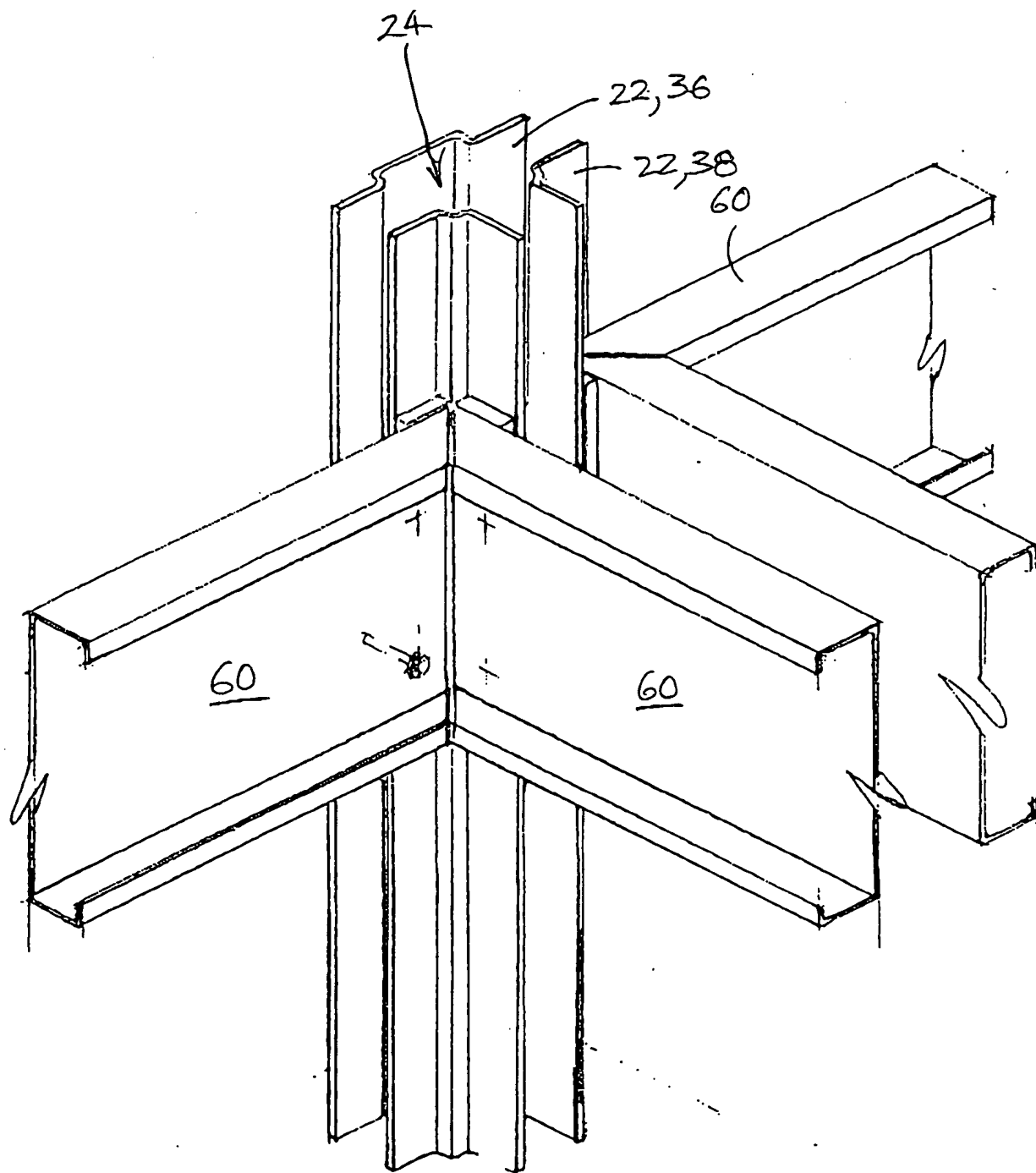
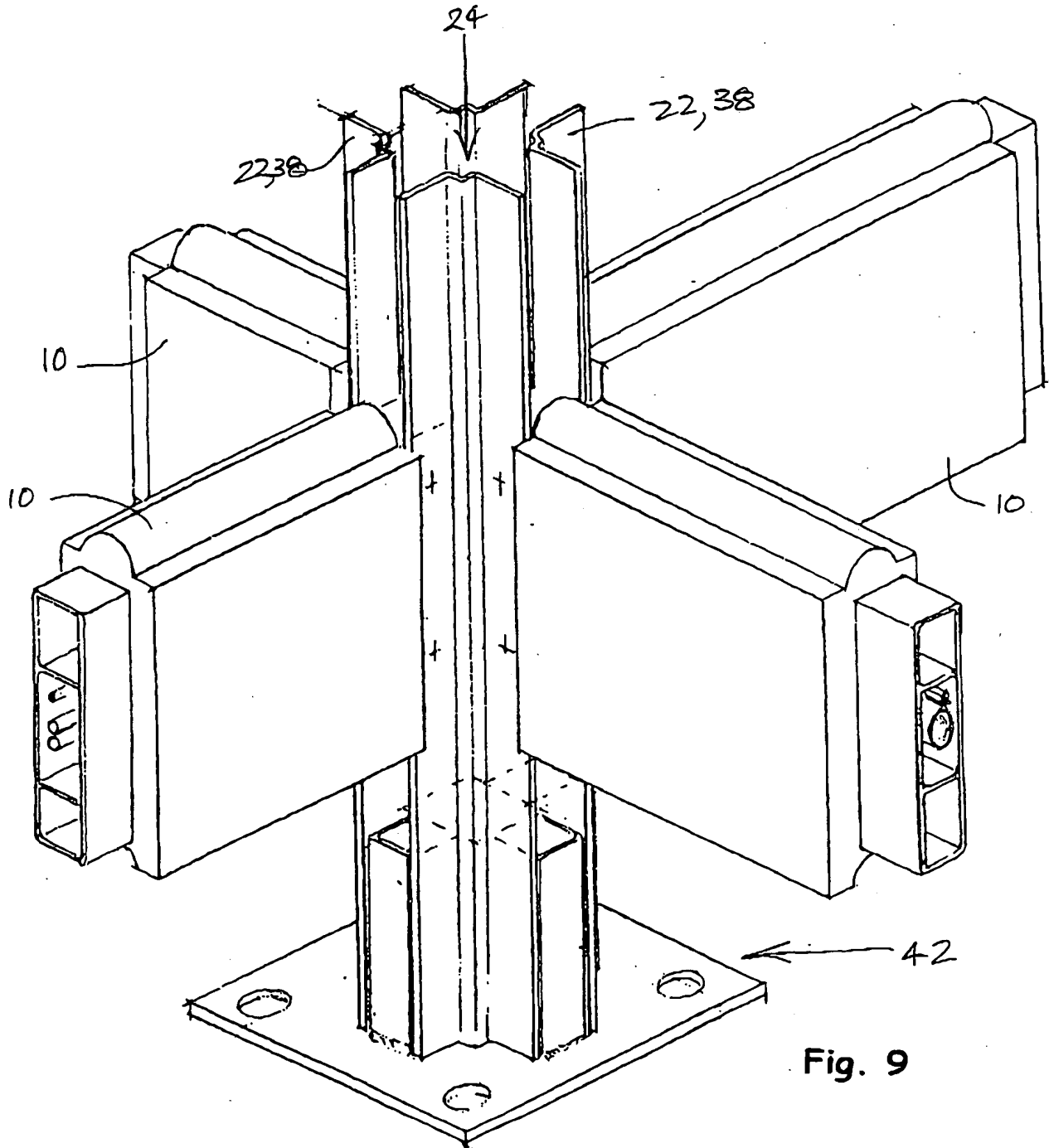
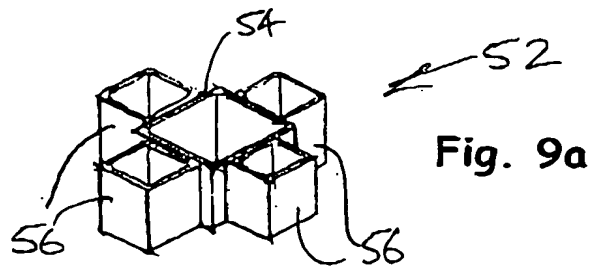


Fig. 8

9/27



10/27

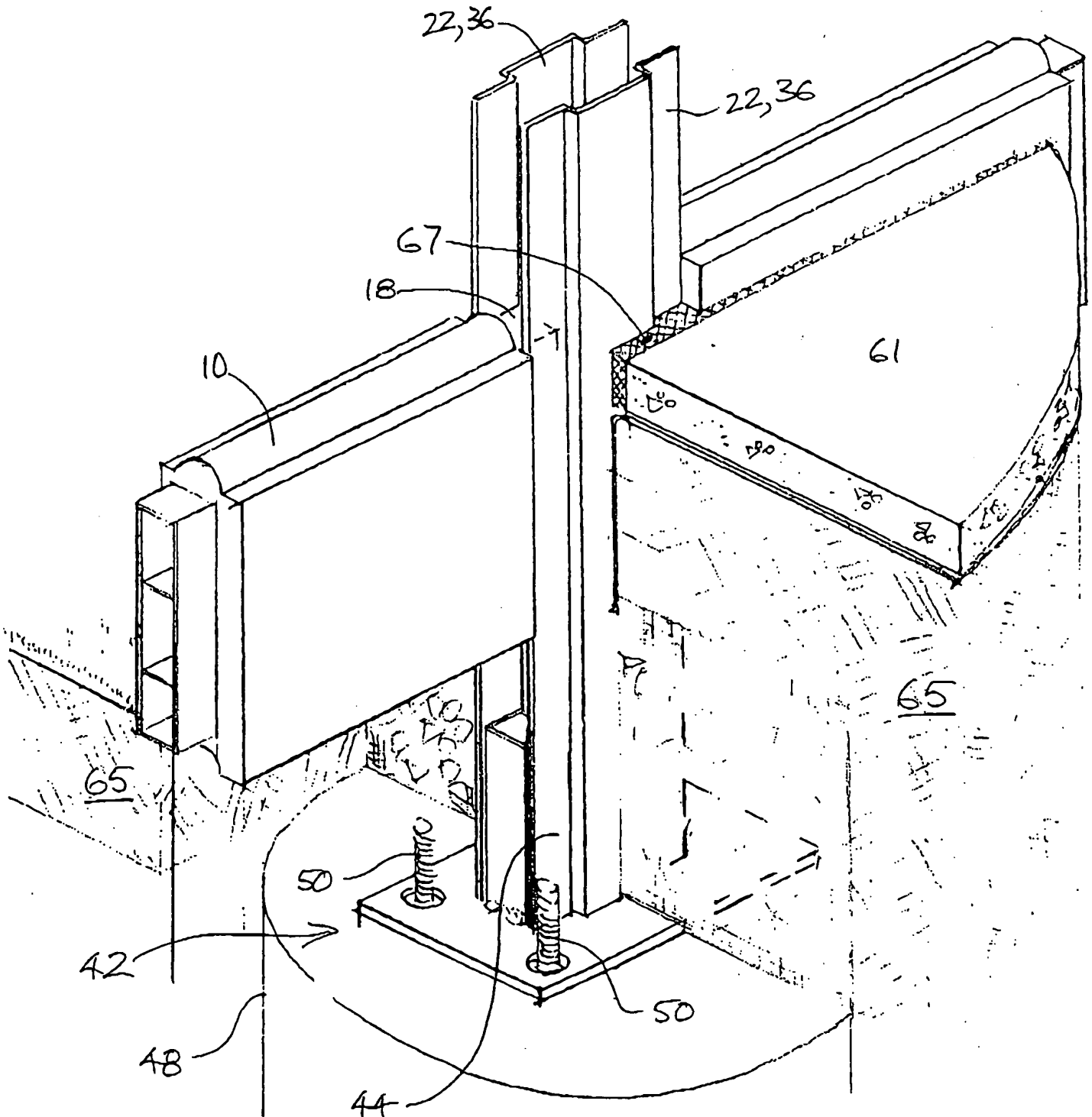


Fig. 10

11/27

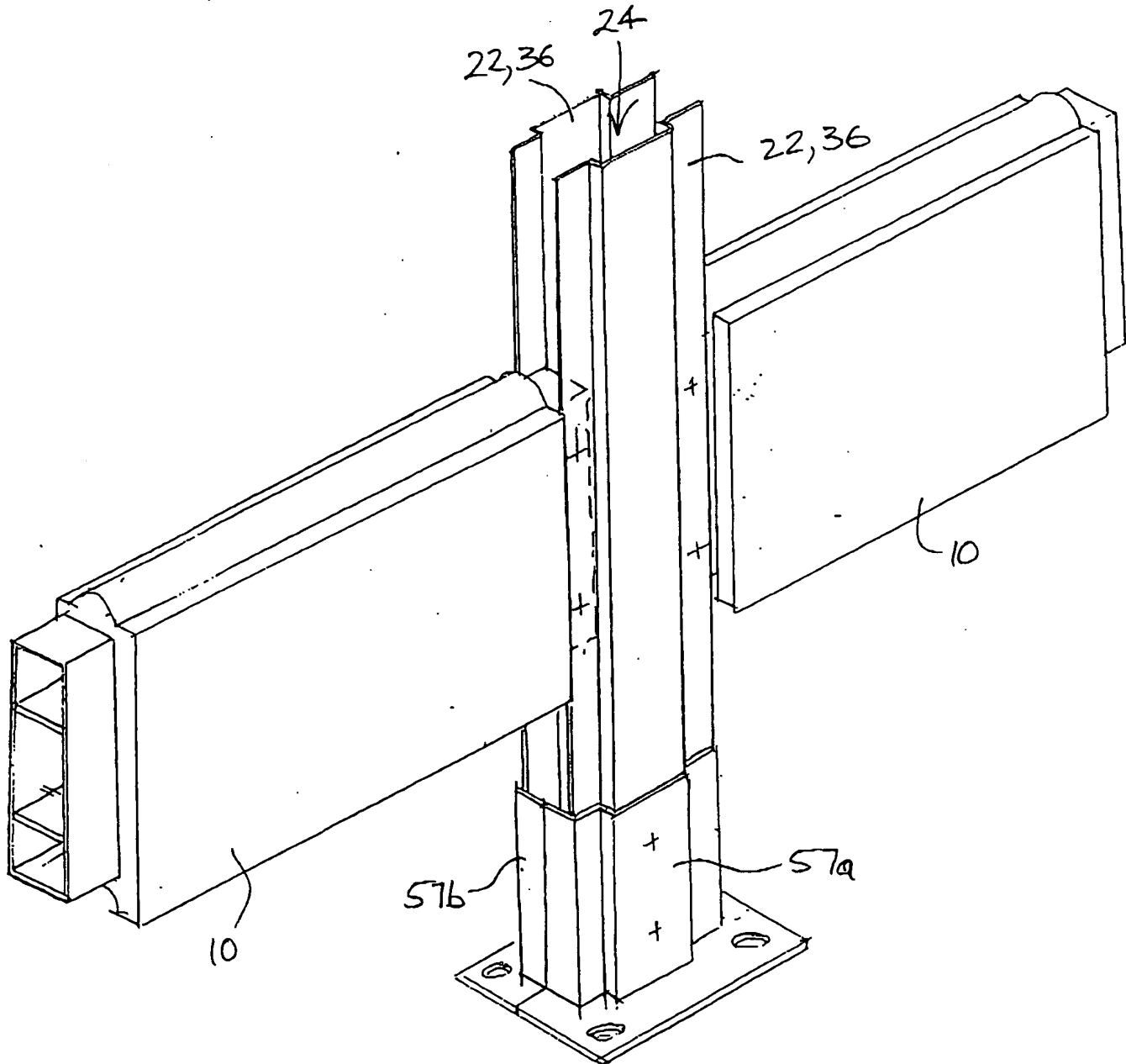
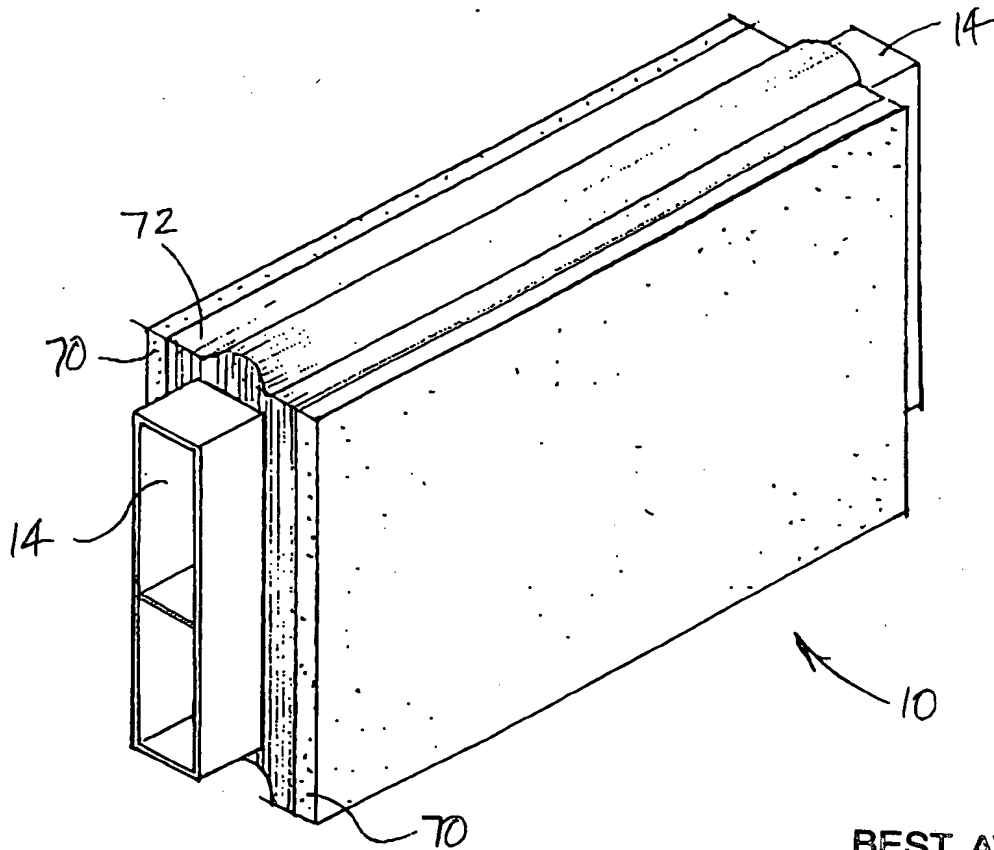
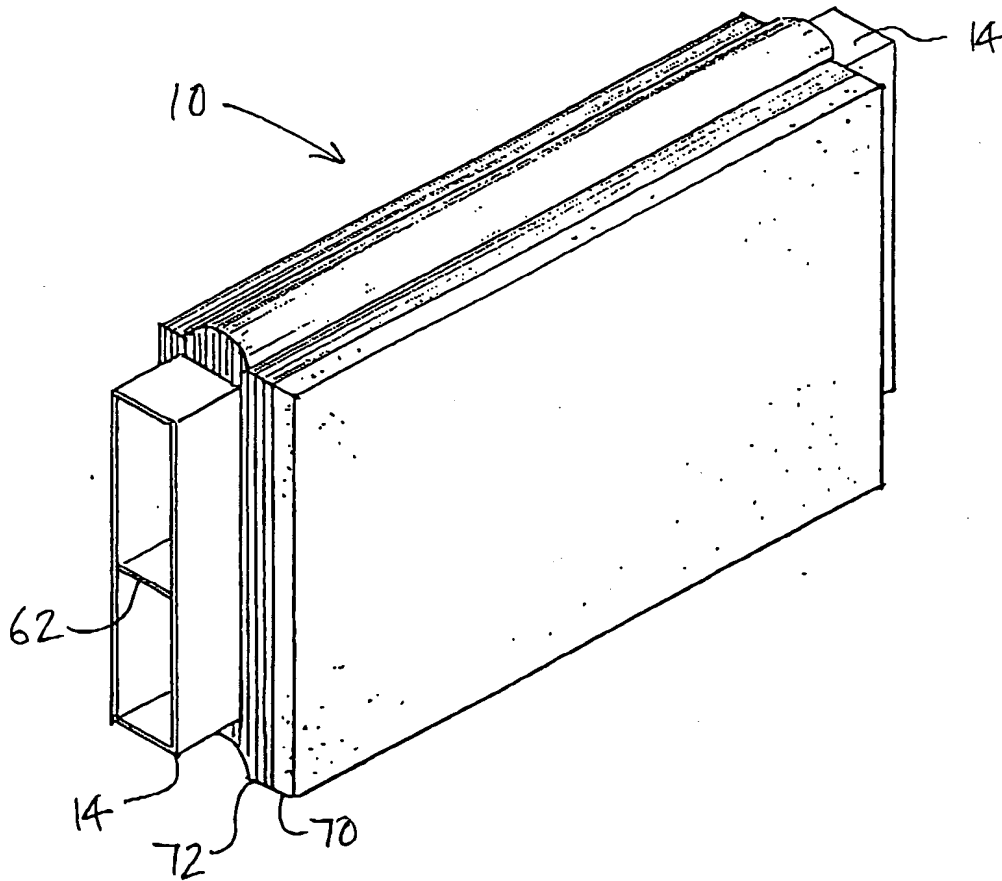


Fig. 11

12/27



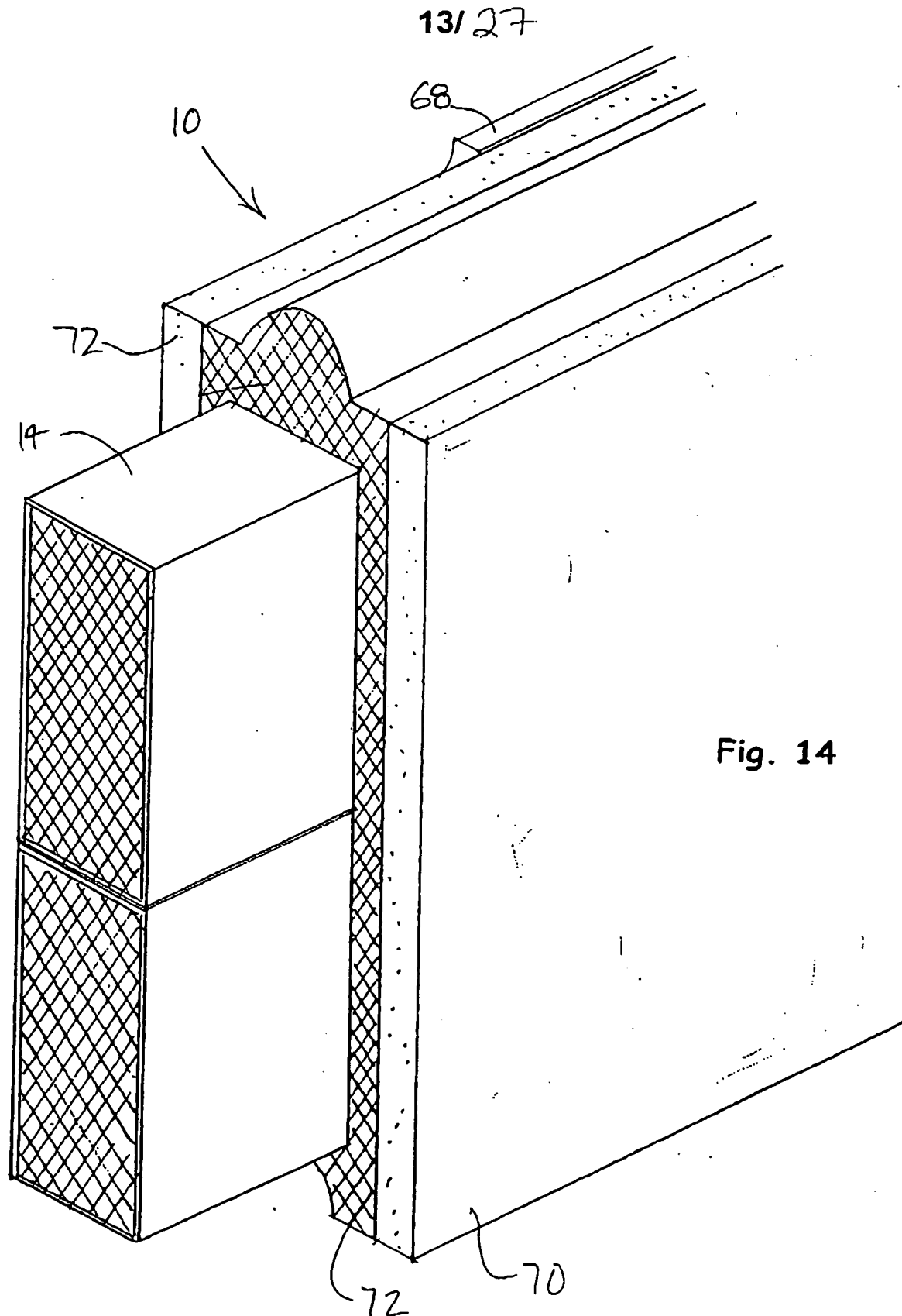


Fig. 14

14/27

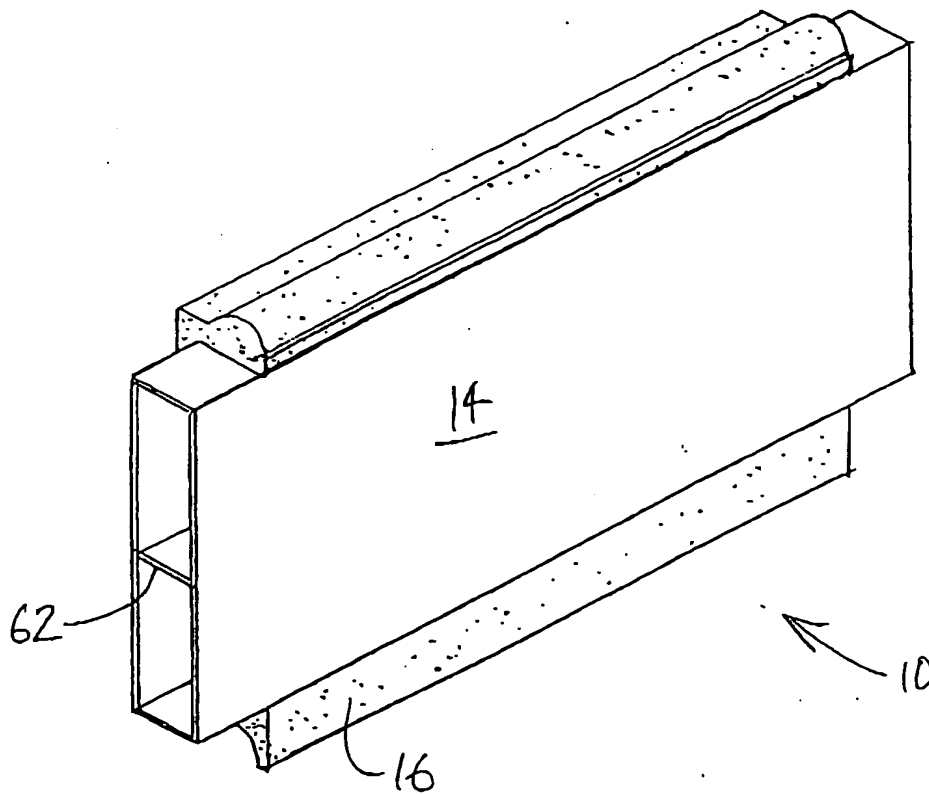


Fig. 15

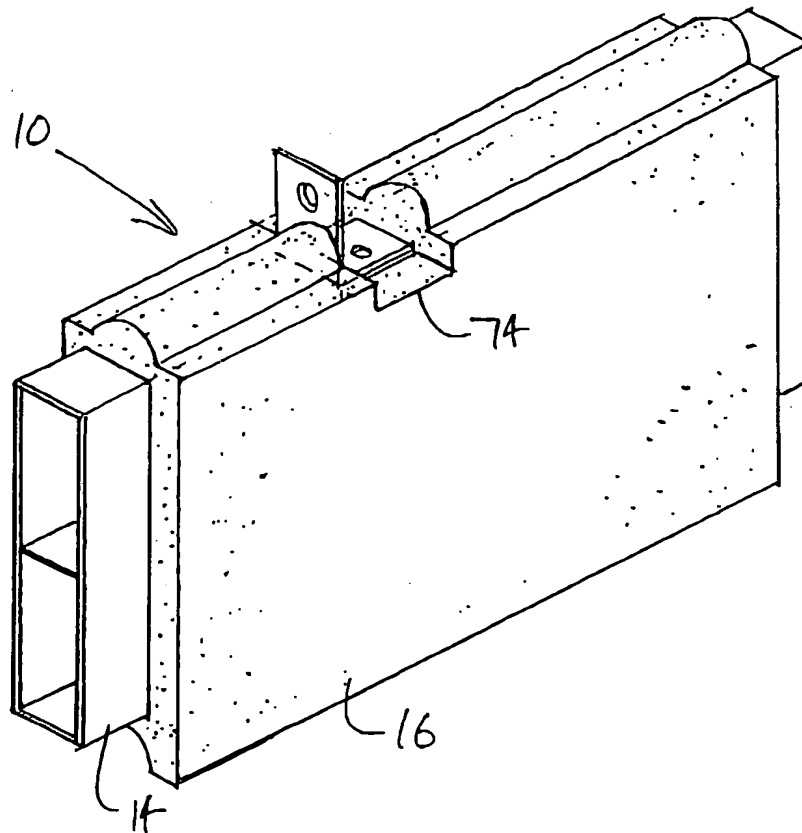


Fig. 16

15/ 27-

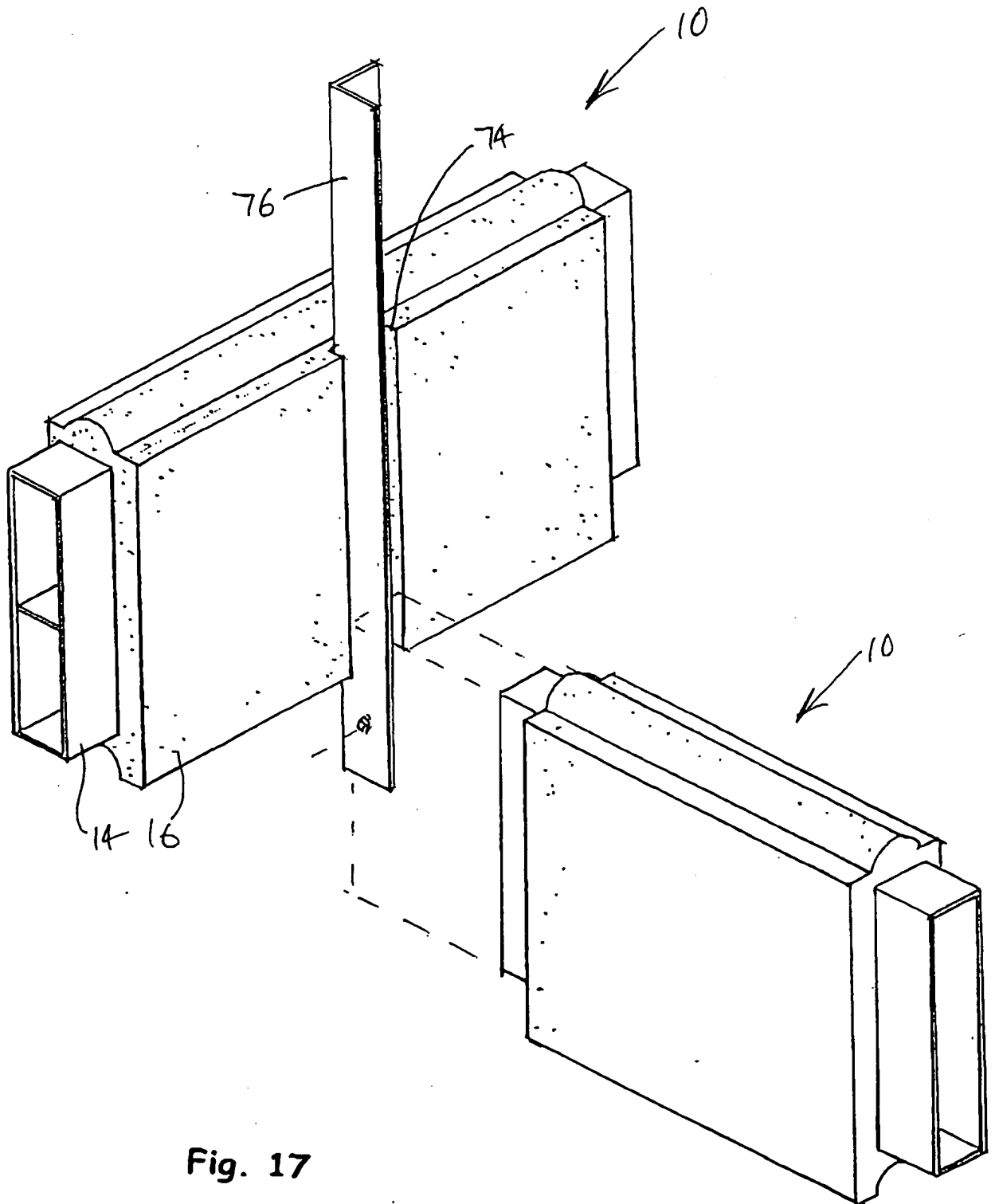
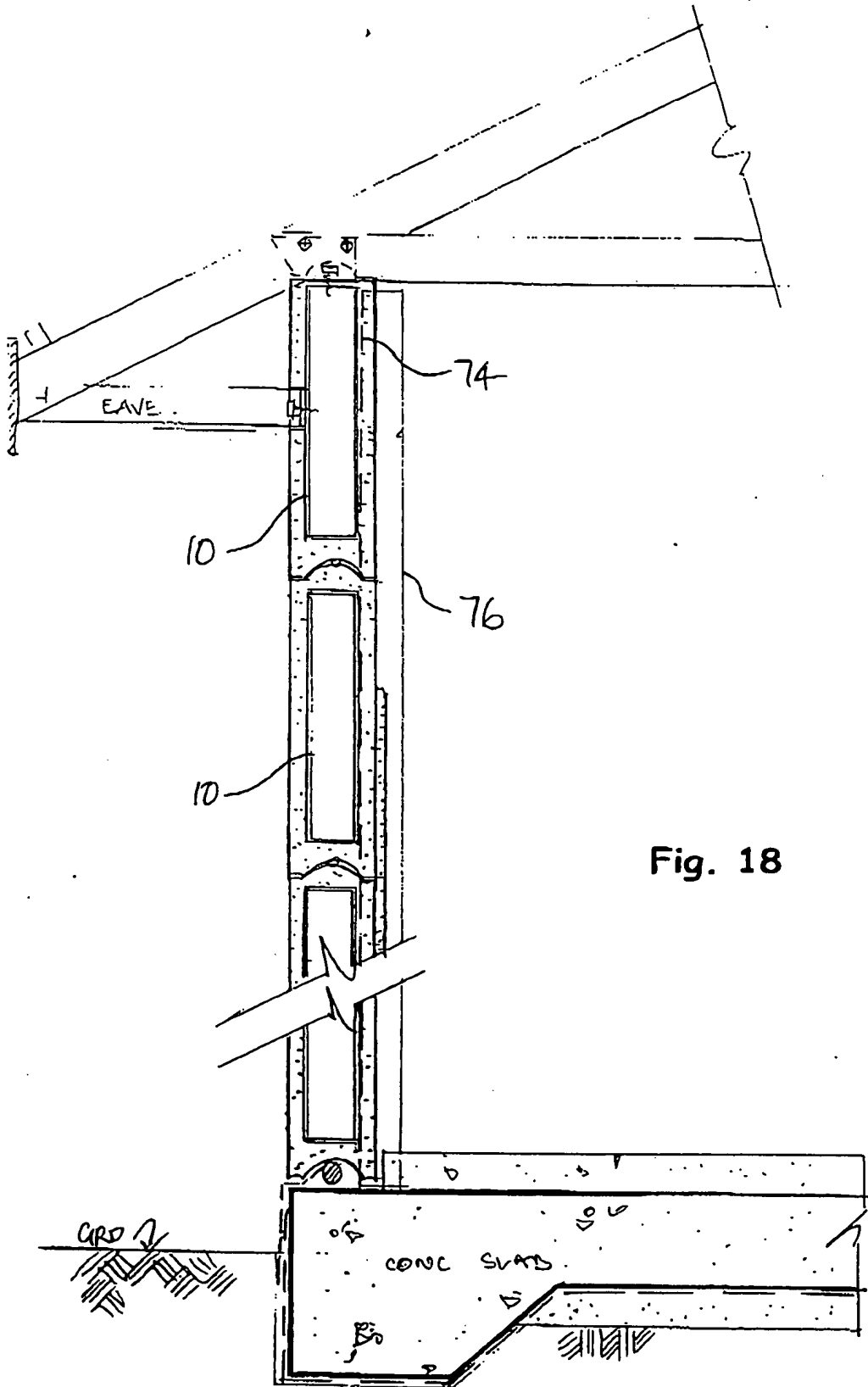
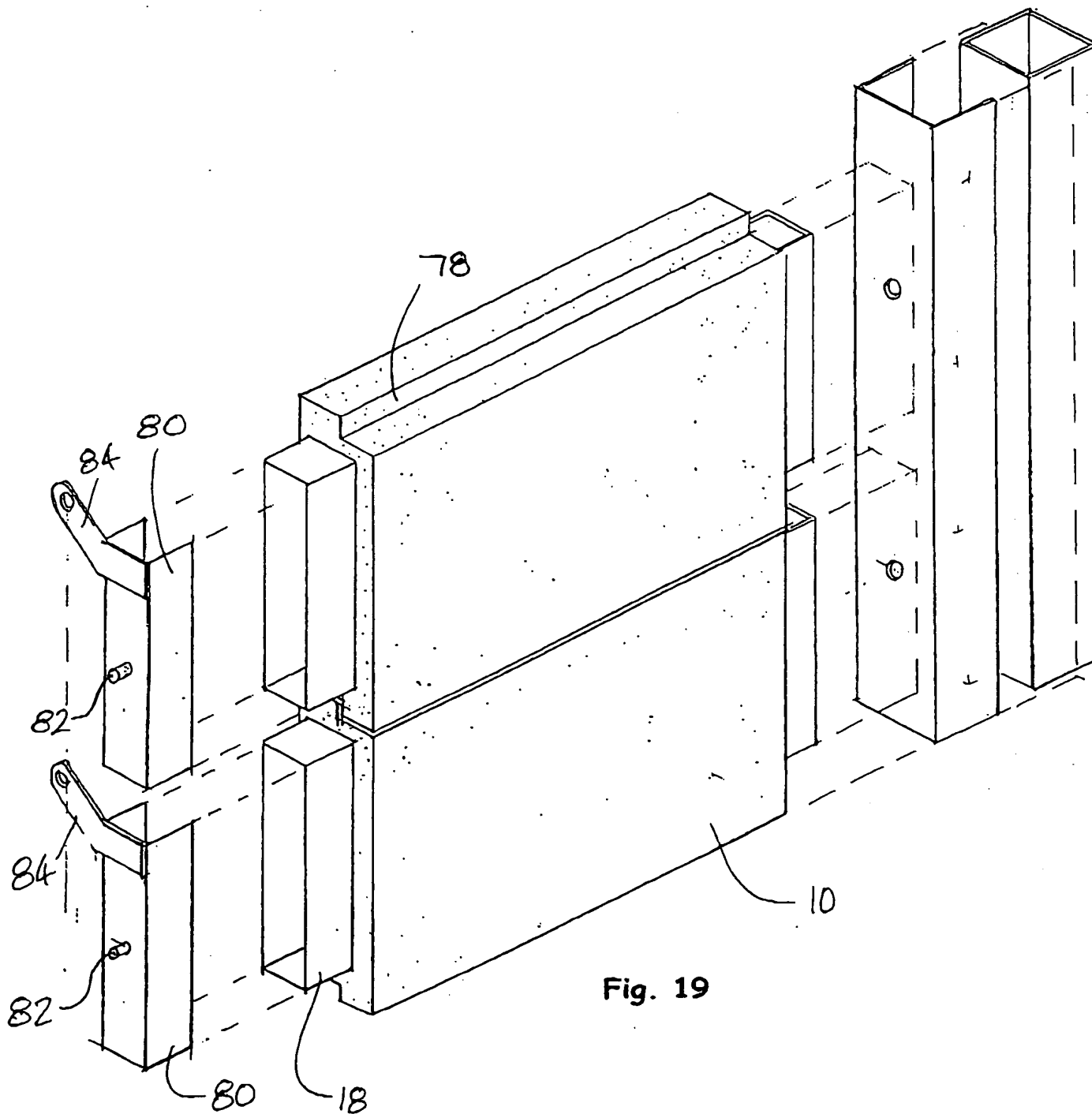


Fig. 17

16/27



171 27



18/27

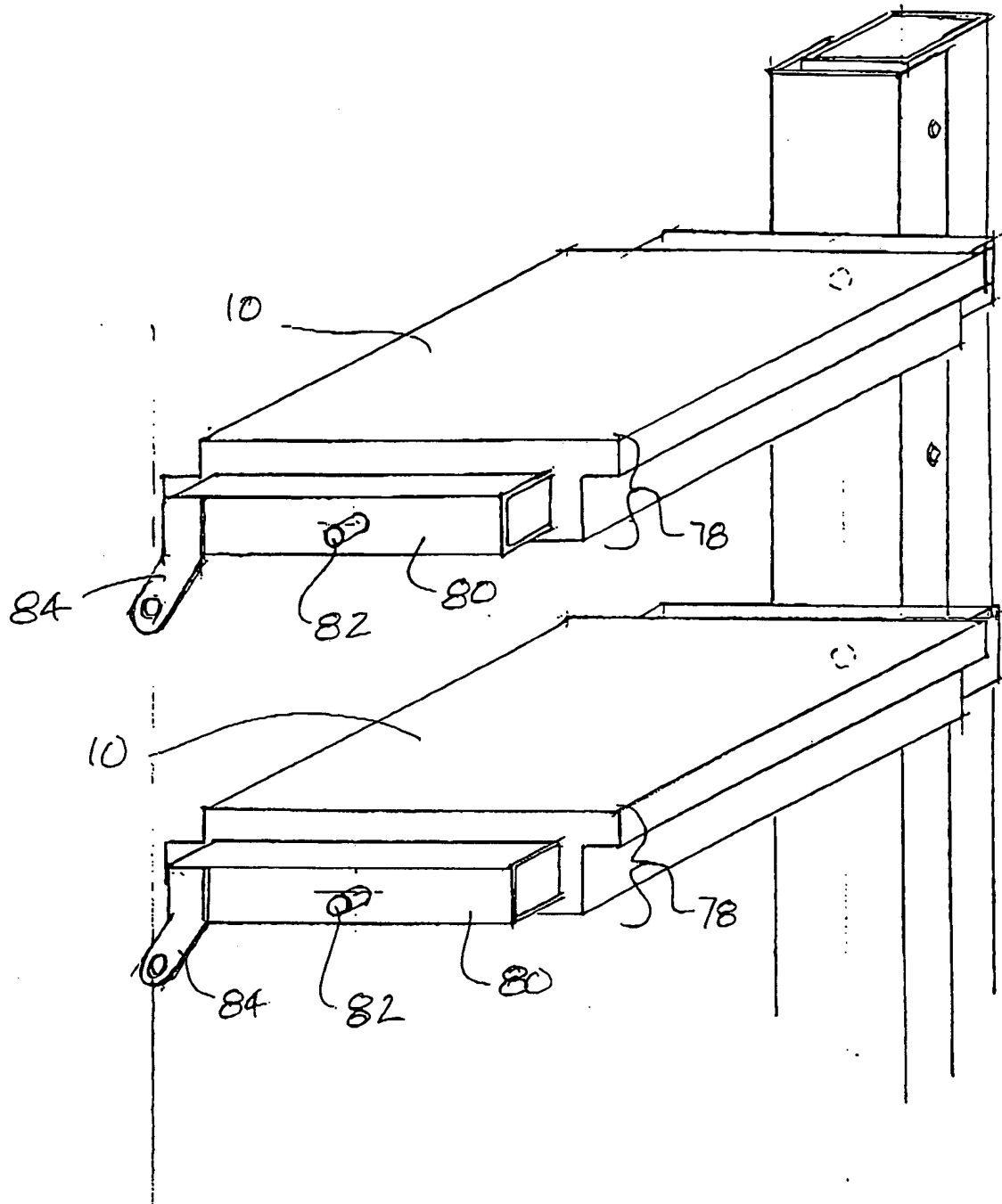


Fig. 20

19/ 27

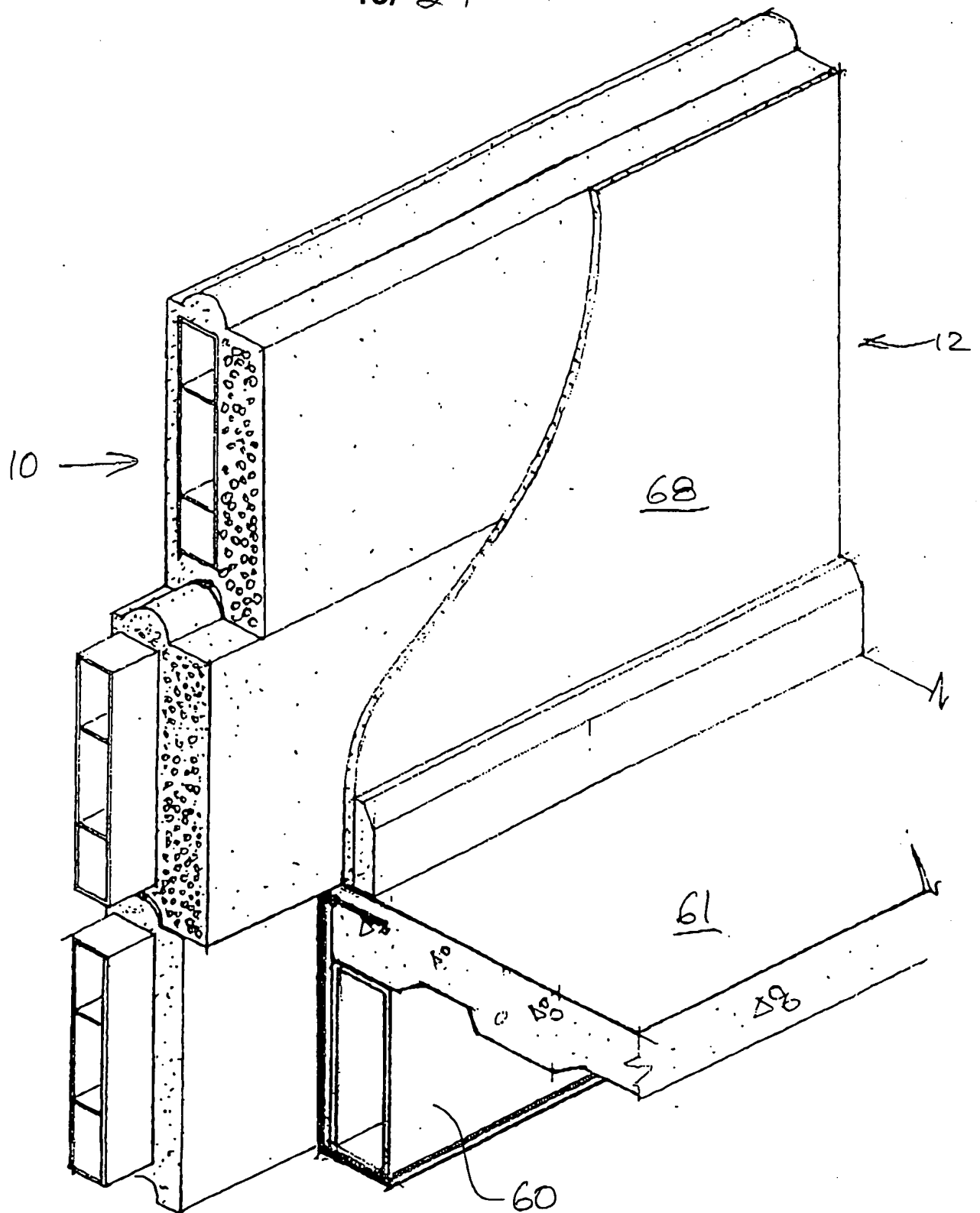


Fig. 21

20/27

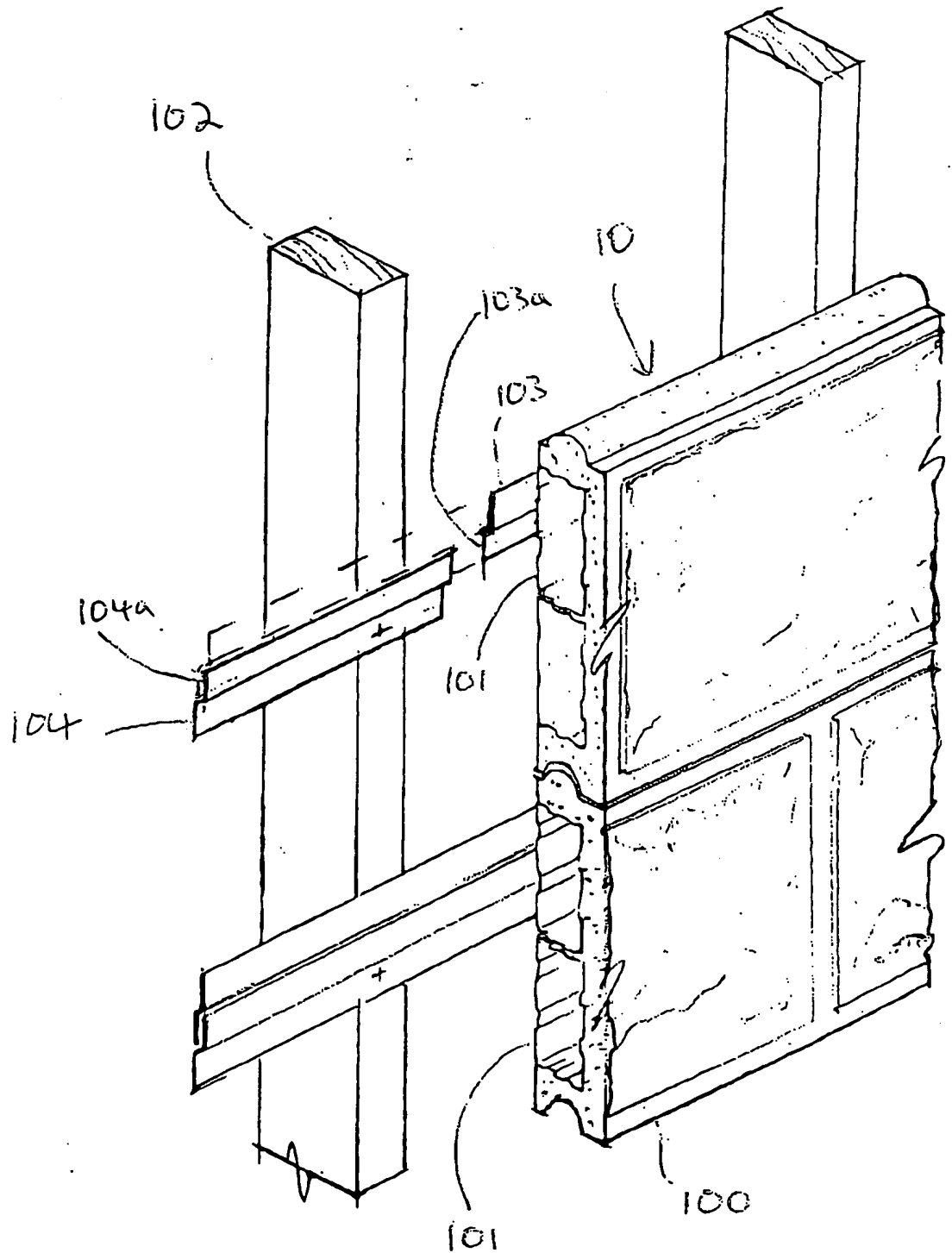


Fig 22

21/27

5

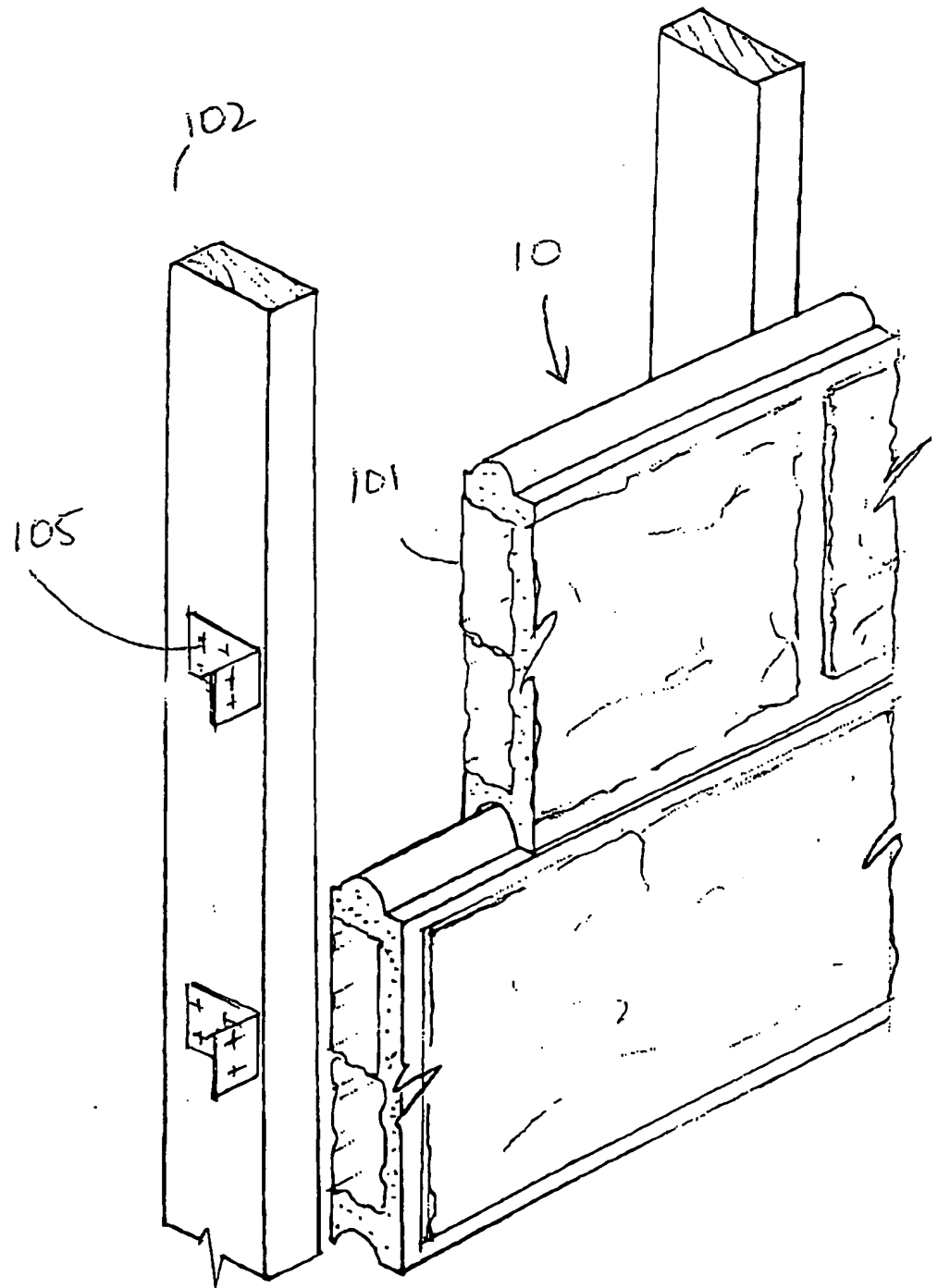


Fig 23

22/27

4

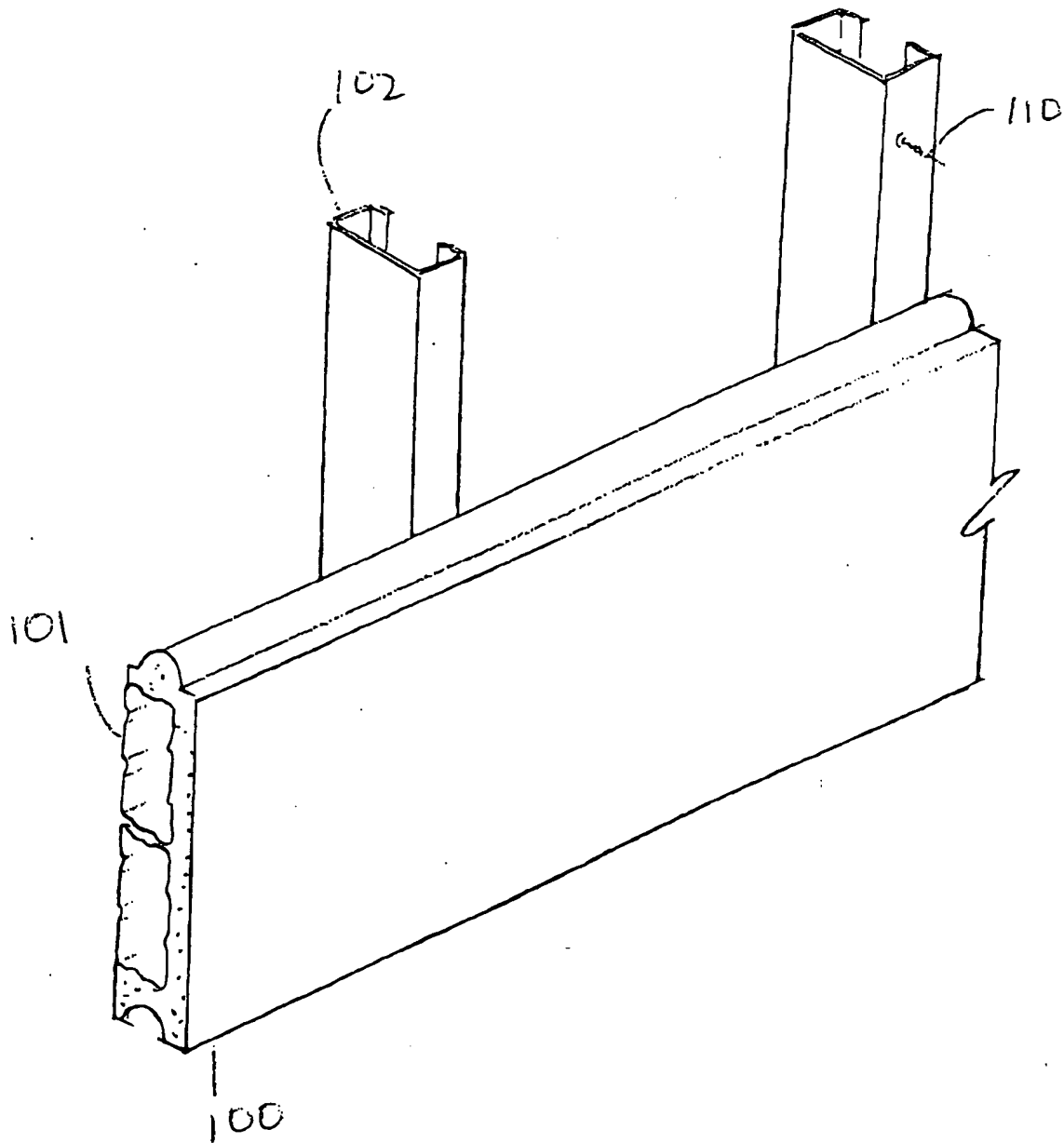


Fig 24

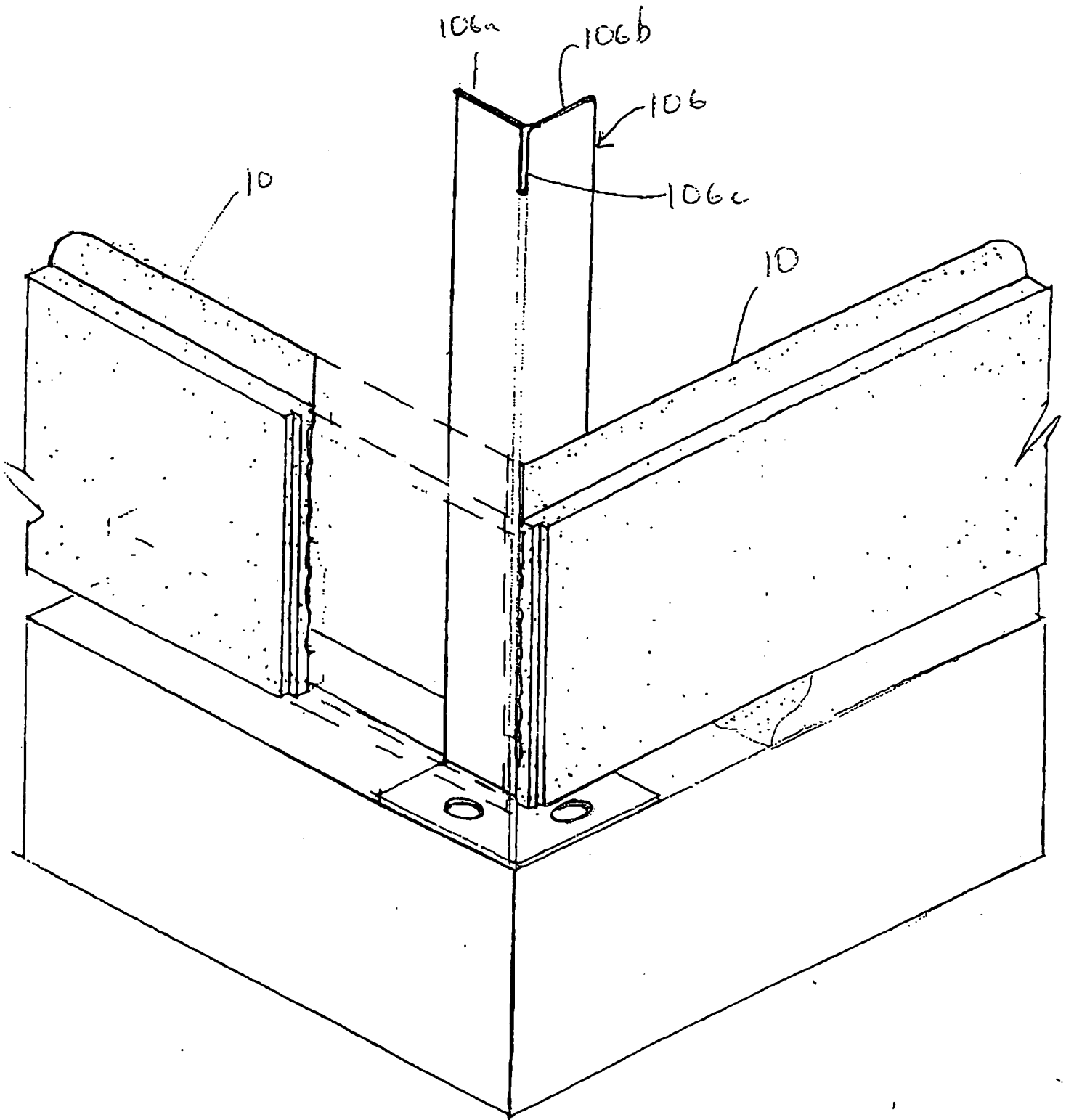


Fig 25

24/27

50

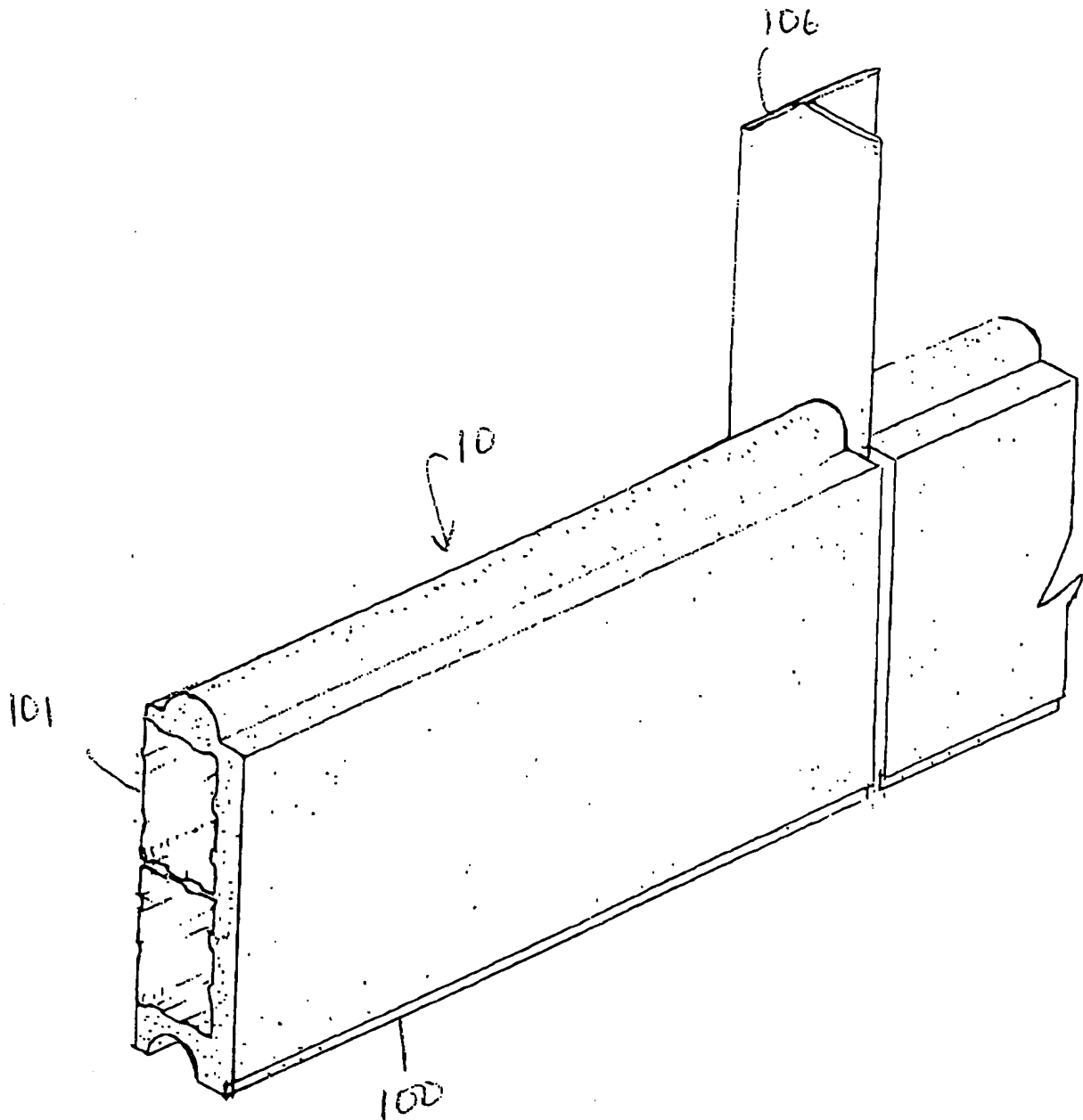
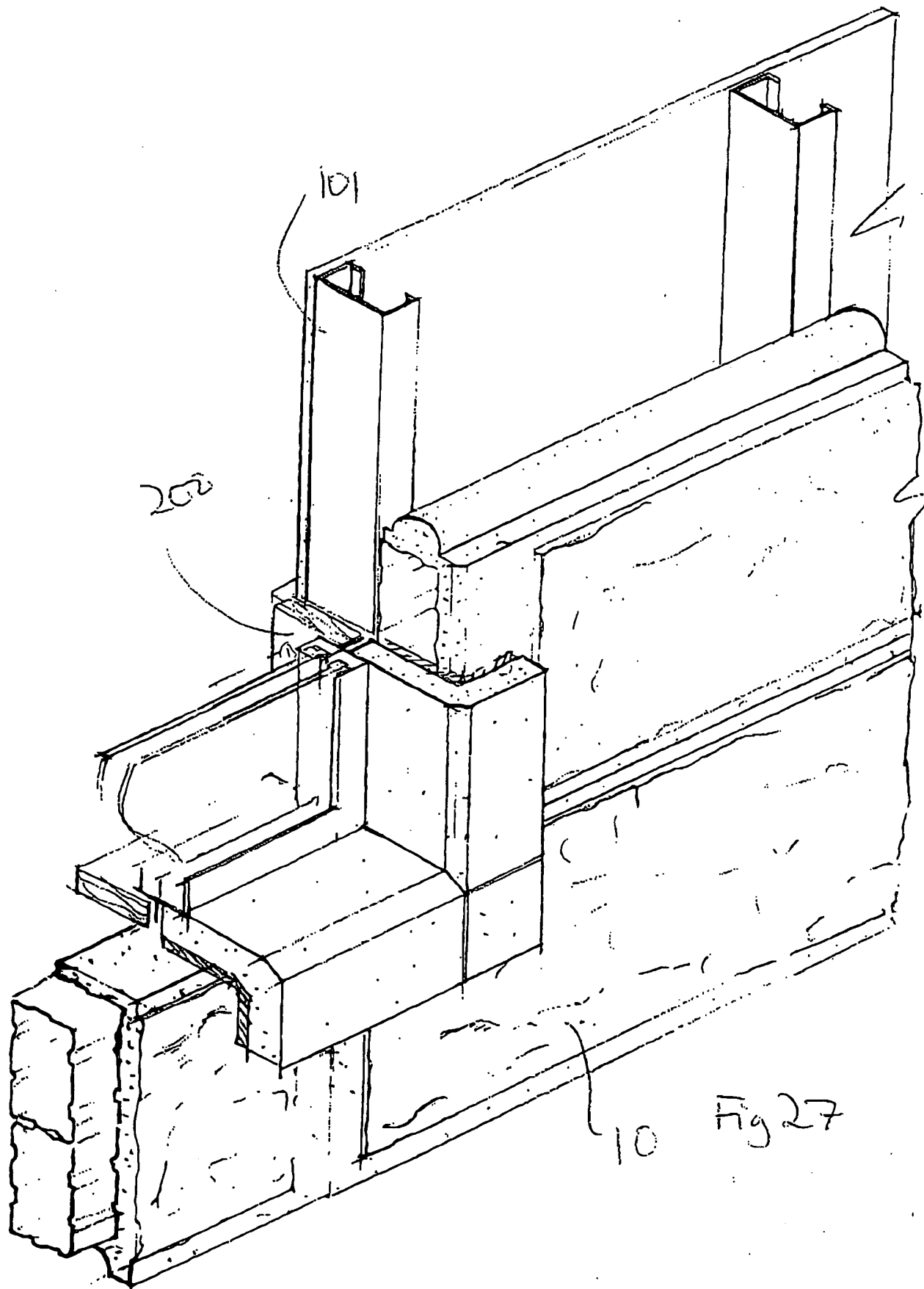


Fig 26

25/27

9.



26/27

7.

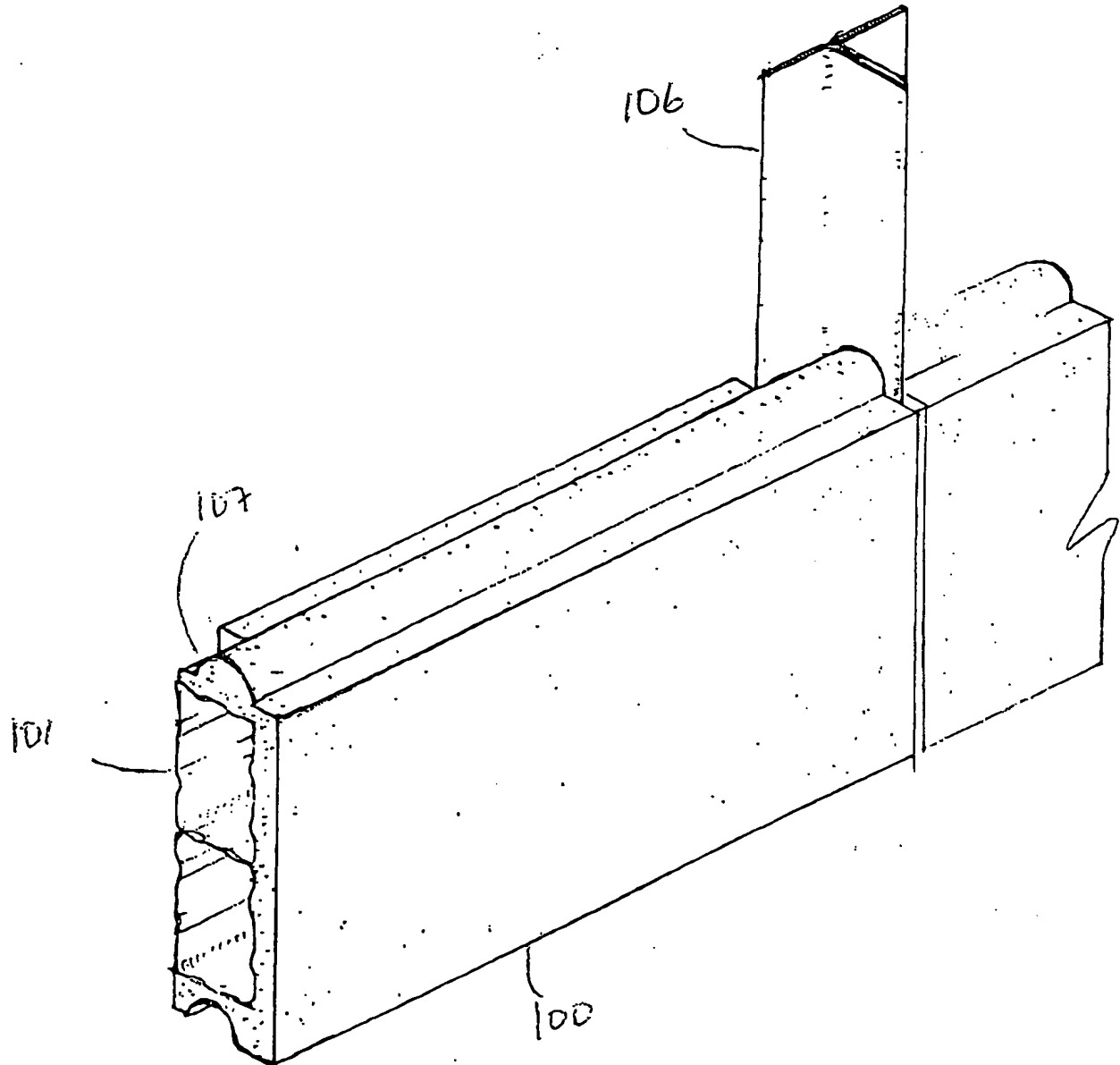


Fig 28

27/27

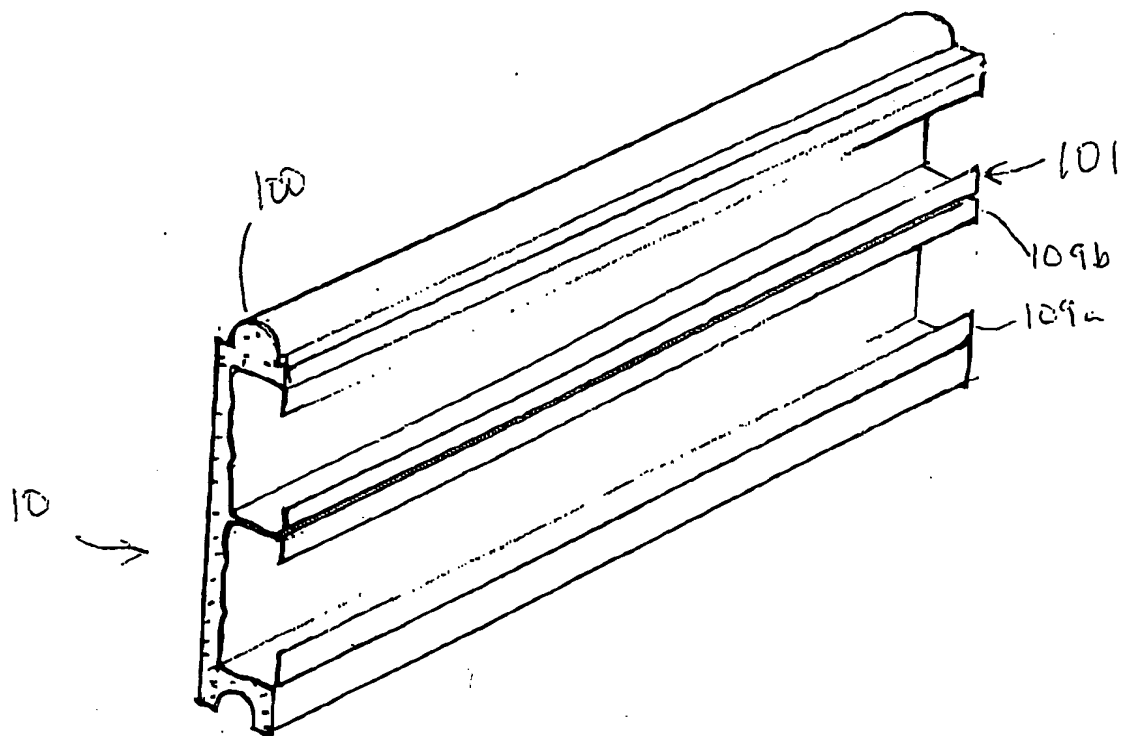


Fig 29